

# DOCUMENT RÉPONSE 1

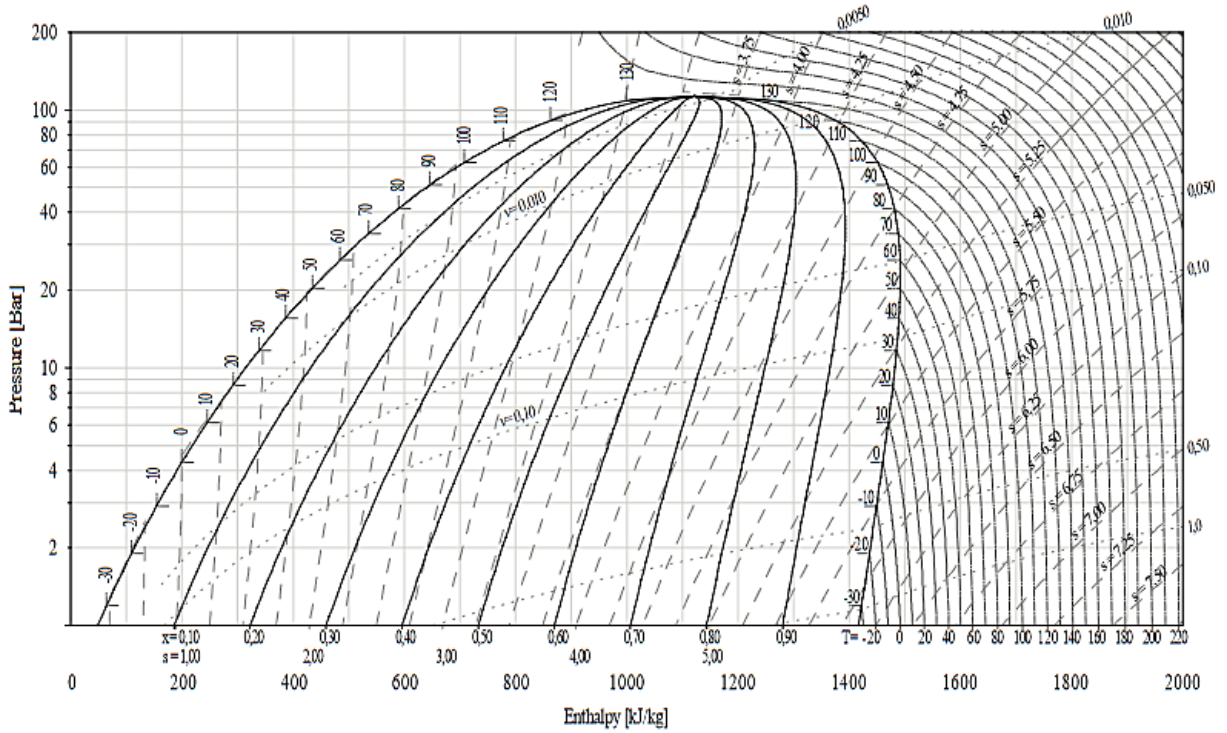


Diagramme de l'ammoniac ( $P, h$ ). DTU, Department of Energy Engineering,  $s$  en  $(\text{kJ} \cdot \text{K}^{-1} \cdot \text{kg}^{-1})$ ,  $v$  en  $\text{m}^3 \cdot \text{kg}^{-1}$ ,  $T$  en  $^{\circ}\text{C}$ , M.J. Skovrup & H.J.H Knudsen (23-10-03).

# DOCUMENT RÉPONSE 2

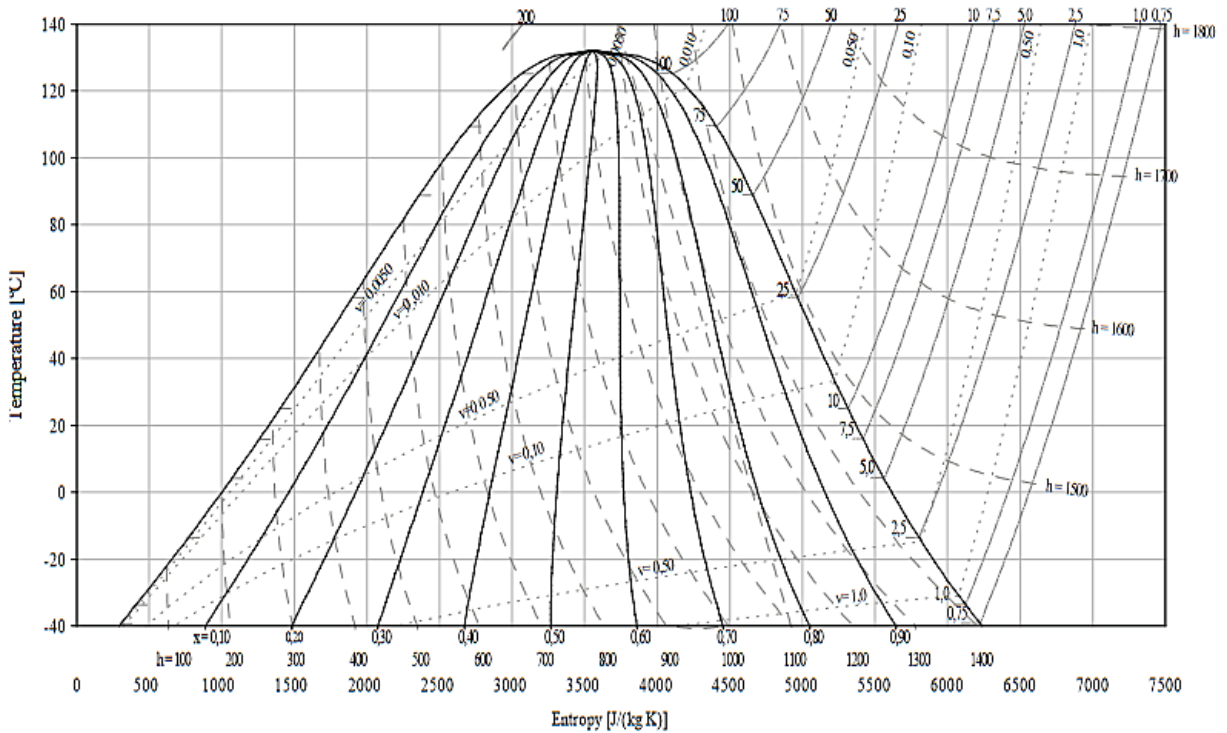
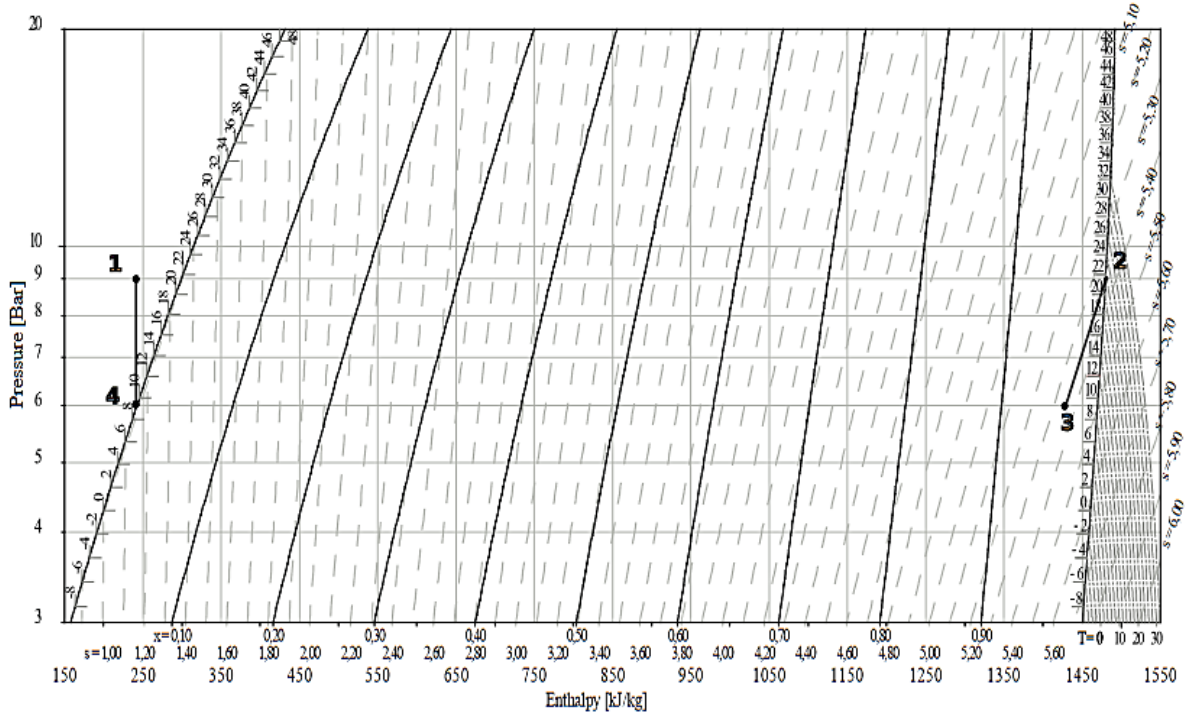


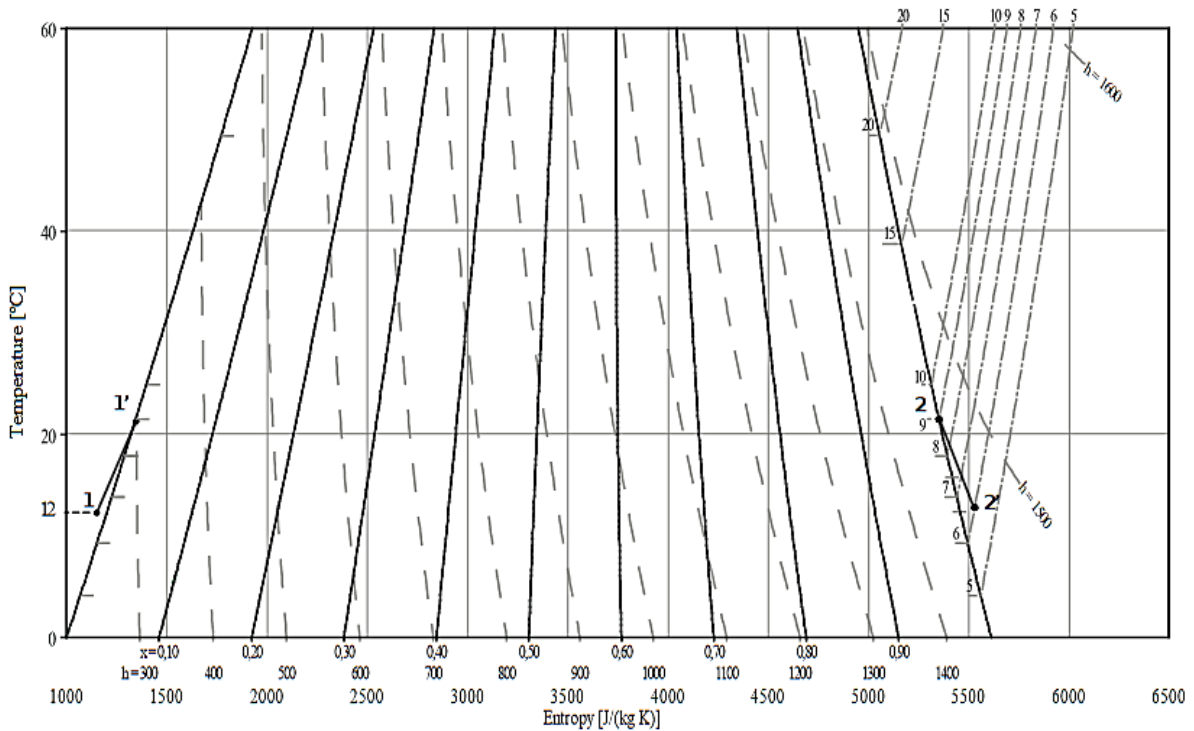
Diagramme de l'ammoniac ( $T, s$ ). DTU, Department of Energy Engineering,  $h$  en  $\text{kJ} \cdot \text{kg}^{-1}$ ,  $v$  en  $\text{m}^3 \cdot \text{kg}^{-1}$ ,  $p$  en bar, M.J. Skovrup & H.J.H Knudsen (23-10-03).

### DOCUMENT RÉPONSE 3



Agrandissement d'une partie du diagramme de l'ammoniac ( $P, h$ ). DTU, Department of Energy Engineering,  $s$  en  $\text{kJ} \cdot \text{K}^{-1} \cdot \text{kg}^{-1}$ ,  $v$  en  $\text{m}^3 \cdot \text{kg}^{-1}$ ,  $T$  en  $^{\circ}\text{C}$ , M.J. Skovrup & H.J.H Knudsen (23-10-03).

### DOCUMENT RÉPONSE 4



Agrandissement d'une partie du diagramme de l'ammoniac ( $T, s$ ). DTU, Department of Energy Engineering,  $h$  en  $\text{kJ} \cdot \text{kg}^{-1}$ ,  $v$  en  $\text{m}^3 \cdot \text{kg}^{-1}$ ,  $p$  en bar, M.J. Skovrup & H.J.H Knudsen (23-10-03).

### DOCUMENT RÉPONSE 5

Point $i$	$T_i$ ( $^{\circ}\text{C}$ )	$P_i$ (bar)	$x_i$	$h_i$ ( $\text{kJ} \cdot \text{kg}^{-1}$ )	$s_i$ ( $\text{kJ} \cdot \text{K}^{-1} \cdot \text{kg}^{-1}$ )
1	12	9		240	1,15
1'					
2					
2'		6			
3					
4					